

○ 名古屋大学 正会員 平佐美 細  
 清水建設 正会員 工屋信洋  
 建設省 正会員 永田 建

1. 序文

本論文は、圧縮力、すなわち圧縮力と曲げを受けた薄板集成鋼圧縮部材の局部座圧と全体座圧の達成挙動の解析的研究の一部を述べたものである。すなわち前報<sup>1)</sup>で得られた、局部座圧を考慮した短柱要素の平均的モーメント-曲率-軸力(M-φ-P)曲線を部材の長さ方向に積分し、部材の全体座圧と達成挙動を求めた。用いた手法は有限積分法<sup>2)</sup>である。

2. 解析手法

解析の対象とするものは、図1に示す(a)偏心圧縮力を受けた柱が(b)軸力とモーメントを両端に受ける柱である。(b)の場合、軸力は一定で、モーメントが増加する場合を考へる。以下、定式化では両端単純支持の偏心圧縮柱を考へる。圧縮力をP、左端、右端の偏心量をそれぞれe、Ke (-1 ≤ Ke ≤ 1)、初期たわみδ(x)、荷重による付加たわみをv(x)柱の長さLとし、x、y座標を図1のようにとる。柱をn等分割し、各分割点での内モーメントと外モーメントのつり合い条件式を求めた。次に式を得る。

$$\{M(P, \phi)\} - P\{10\} + \{A\} = 0 \quad (1)$$

すなわち、 $\{M(P, \phi)\}$ 、 $\{A\}$ が $\{10\}$ のそれぞれ各分割点における曲げモーメント(内モーメント)が $\{A\}$ の外力に集めた(n+1)次元ベクトル、 $\{10\}$ は分割点におけるたわみ

$$\delta(x) = \delta(x) + e \cdot (1 + (K-1) \cdot x/L) \quad (2)$$

を集めた(n+1)次元ベクトルである。M(P, φ)は分割点における軸力Pと曲率φをM-φ-P関係に代入して求めた曲げモーメントである。外力 $\{A\}$ は有限積分法の手法により曲率ベクトル $\{\phi\}$ を用いて

$$\{10\} = [N]\{\phi\} \quad (3)$$

で表わす。すなわち[N]は(n+1) × (n+1)元の正方形行列<sup>2)</sup>である。式(1)、(3)は $\{\phi\}$ に関する(n+1)次元の非線形方程式と対応するNewton-Raphson法の考えを用いて解く。今、軸力Paの時の曲率 $\{\phi\}$ が既知であると、軸力をPaに変化した時の曲率 $\{\phi\} + \{\Delta\phi\}$ に変化したとする。

$P = Pa$ ,  $\{\phi\} = \{\phi_a\} + \{\Delta\phi\}$ を式(1)、(3)に代入し、 $\{M(Pa, \phi_a + \Delta\phi)\} \cong \{M(Pa, \phi_a)\} + [M_a]\{\Delta\phi\}$ と置き、式(3)を式(1)に代入すれば次式を得る。

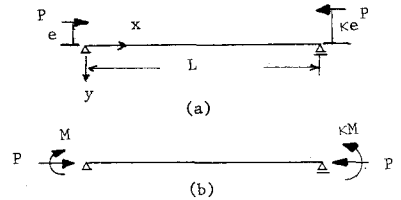


Fig.1 Beam Columns to be Analysed

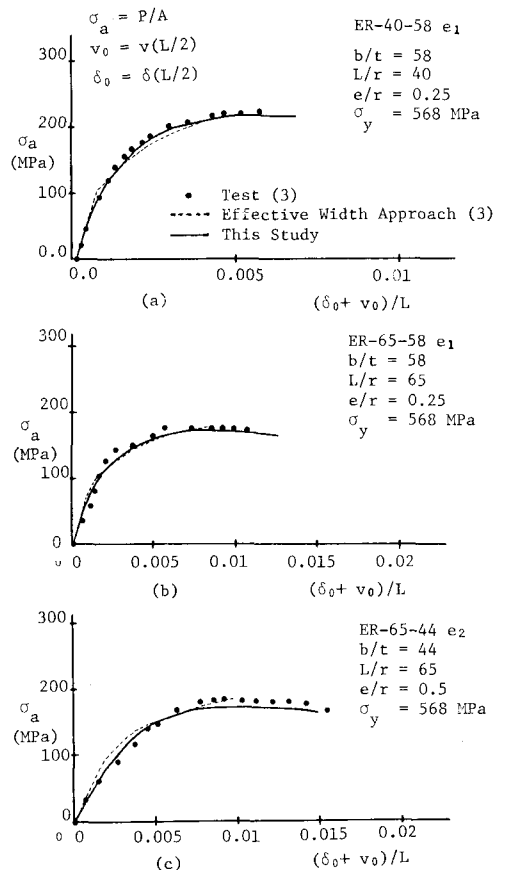


Fig. 2 Comparison with Test Results and Available Solutions (Rectangular Box Section Columns with d/b = 0.75)

$$\{([B_A] - [B_N])\} \{ \bar{\sigma} \} = [B_N] \{ \bar{\sigma} \} + \{ d \} - \{ H([B_N], \bar{\sigma}_A) \} \quad (4)$$

$\Rightarrow$  2)  $[B_A]$  は分割点における  $H([B_N], \bar{\sigma}_A) / 2$  重に対角項とす  
 対角行列 2',  $H - 1$  重 -  $P$  曲線  
 の同配から求める  $\sigma$  とが得  
 える。式 (4) を解いて得られる  
 対角項を  $\sigma$  とし、 $\sigma$  とす  
 る新しい 値  $\sigma_{eff} =$   
 $\bar{\sigma}_A + \{ \sigma_{eff} \}$  を求める。式 (4) の  
 対角項に  $\sigma_{eff}$  を代入する  $\sigma$  とに  
 す  $\sigma_{eff}$  の新しい補正値  $\sigma_{eff}$   
 が求められる。以下同様の操

作を繰り返す。長回りの繰り返す計算で求められた補正値  $\sigma_{eff}$  のノルム  $\| \sigma_{eff} \|$  が  $10^{-5} \max(\| \bar{\sigma}_A \|, \| \bar{\sigma}_N \|)$  以下にた  
 らば解は収束したと見做す。  $\sigma_{eff}$  を  $[B_N]$  に対する解とした。  $H - 1$  重 -  $P$  曲線は離散化  $n - 1$  と  $n$  とで与えられた  
 $P =$  一定の曲線上は 5 次のスプライン関数による補間、  $\sigma =$  一定の曲線上は直線補間を用いた。

### 3. 数値解析結果

本研究により求めた偏心圧縮長柱の荷重変形曲線と文献(3)より得られた実験値及び有効幅理論により求めた解析  
 値と比較した例を図2(a)-(c)に示す。図示した柱は、細長比  $L/r = 40$ 、幅厚比  $b/t = 58$ 、偏心量  $e/r = 0.25$   
 柱中央の初期欠けり  $\delta_0/L = 1.42 \times 10^{-4}$  (図a)、細長比  $L/r = 65$ 、幅厚比  $b/t = 58$ 、偏心量  $e/r = 0.25$   
 柱中央の初期欠けり  $\delta_0/L = 1.81 \times 10^{-4}$  (図b)、細長比  $L/r = 65$ 、幅厚比  $b/t = 44$ 、偏心量  $e/r = 0.5$ 、  
 柱中央の初期欠けり  $\delta_0/L = 0.55 \times 10^{-4}$  (図c) の長方形箱形断面柱であり解析に当り柱の長方形の  $30$  分割  
 した。用いた  $H - 1$  重 -  $P$  曲線は前報(1)に示してある。また、本解析によ、得られた最高荷重を実験値及び有効  
 幅理論による値と比較して図3に示す。本解析によ、得られた結果は、全体的に多少低い最高荷重を与えたり成  
 する荷重-変形挙動は、特に幅厚比  $b/t$  の比較的大きな柱  $b/t = 58$  に対して、実験値と大変良く一致している。幅厚比が小  
 さなる  $b/t = 44$  に対しては、有効幅理論により得られた値に比較して本解析結果は多少なりとも実験値に近い最高荷重を与え  
 ている。

### 4. 結論

本解析結果は実験値とも良く一致しており、その精度は大変良好なものであった。なお、著者が文献(3)、(4)で  
 提案している柱、はり柱の局部座圧と全体座圧の達成強度推定式との比較は、講演当日述べたこととする。

### 参考文献

- 1) 工屋信洋ら, "薄板集成短柱の複合非線形挙動", 第39回年次学術講演会概要集, 1984年10月。
- 2) 宇佐美勉, T.V. Galambos, "2軸対称変形鋼管の強度" 土木学会論文報告集, 第191号, 1971年7月, pp.31-44。
- 3) 宇佐美勉, 福本浩士, "鋼圧縮部材の達成座圧強度実験と有効幅理論による解析", 土木学会論文報告集  
第326号, 1982年10月, pp.41-50
- 4) 宇佐美勉, 福本浩士, 青木徹彦, "薄板箱形断面柱の局部座圧と全体座圧の達成強度に関する実験的研究"  
土木学会論文報告集第308号, 1981年4月, pp.47-58

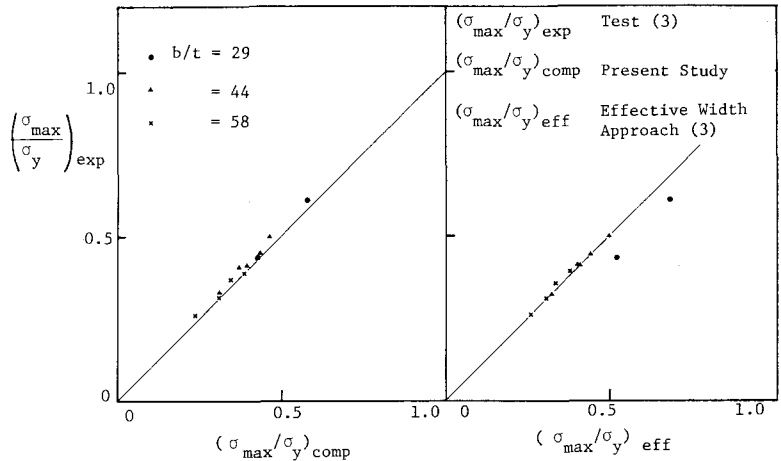


Fig. 3 Comparison of Experimental and Computed Maximum Loads  
 $(\sigma_{max} =$  average stress at maximum load,  $\sigma_y =$  yield stress)